Volume 32 Number 11

DOI: 10.11817/j.ysxb.1004.0609.2021-42823



氢气辅助镁还原-烧结制备 Zr-2.5Nb 合金

董朝望1,2, 赵金龙1,2, 夏阳1, 郭学益1,2, 刘汉宁1,2

- (1. 中南大学 冶金与环境学院,长沙 410083;
- 2. 中南大学 资源循环研究院,长沙 410083)

摘 要: 传统的克劳尔方法制备锆铌合金存在工艺流程长、易被杂质元素污染等问题。本文提出一种利用 氢气辅助镁还原-压制烧结直接制备锆铌合金的新工艺。以Zr-2.5Nb为目标合金,在氢气气氛下利用镁粉 还原金属氧化物 ZrO,和 Nb,O,的混合物,成功制备出氧质量分数低至 0.038%的 Zr-2.5Nb 氢化合金粉末,之 后对制备出的合金粉末进行冷等静压-烧结,制备 Zr-2.5Nb 合金。对制备出的合金粉末的元素含量、形貌 及粒度进行了分析,探究了烧结温度对合金性能的影响。结果表明:合金粉末中Nb质量分数为2.29%,平 均粒度为61.88 μm。当烧结温度为1400 ℃时,合金产品致密度和硬度分别达到最大,分别为95.36%和 250.3 HV, 合金的压缩强度在1300 ℃时达到最高值1059 MPa。制备出的合金硬度和压缩性能均满足美国 工业核级锆合金标准。

关键词:还原: Zr-Nb合金: 粉末: 烧结

文章编号: 1004-0609(2022)-11-3306-09

中图分类号: TG146.4

文献标志码: A

引文格式:董朝望,赵金龙,夏 阳,等. 氢气辅助镁还原-烧结制备 Zr-2.5Nb 合金[J]. 中国有色金属学报, 2022, 32(11): 3306-3314. DOI: 10.11817/j.ysxb.1004.0609.2021-42823

DONG Zhao-wang, ZHAO Jin-long, XIA Yang, et al. Preparing Zr-2.5Nb alloy by hydrogen assisted magnesium reduction and sintering[J]. The Chinese Journal of Nonferrous Metals, 2022, 32(11): 3306-3314. DOI: 10.11817/j. ysxb.1004.0609.2021-42823

锆铌合金不仅具有低的热中子俘获截面、良好 的加工性能和较好的耐腐蚀性, 且合金中的铌元素 能有效减少合金的吸氢量和少量杂质的不利影响, 因此锆铌合金常被选为核反应堆压力管及堆芯等结 构材料[1-3]。目前多数锆合金产品的制备方法和钛 合金产品类似,基于传统的克劳尔工艺得到纯的锆 金属, 再经过合金元素掺杂熔炼、铸造、机加工等 工艺获得可以应用的锆合金, 在该过程中氯化工艺 对设备要求高,熔炼及铸造加工过程合金产品极易 被污染、导致在生产中对环境和设备都提出比较严 格的要求,因此传统的方法存在能耗高、流程长、 材料利用率低等问题[4-8]。近年来学者提出了多种 生产金属锆的方法,如钙还原法[9]、钠还原法[10]、 电解法[11]等。但这些方法对比克劳尔法没有明显优 势, 钙还原法需要的还原温度较高, 钠还原法回收 NaCl 能耗高, 电解法产品的氧含量高。粉末治 金[12]具有近净成形的特点,可以有效避免合金成分 的偏析, 材料利用率高, 很大程度上降低了生产成 本,粉末冶金分为混合元素法和预合金法[13-14],无 论哪种粉末冶金方法制备锆合金, 前提是要经过克

基金项目: 国家自然科学基金资助项目(52004342); 湖南省自然科学基金杰出青年基金资助项目(2021JJ20065)

收稿日期: 2021-12-22; 修订日期: 2022-02-28

通信作者: 夏 阳,副教授,博士;电话: 0731-88877863; E-mail: yang.xia@csu.edu.cn 郭学益, 教授, 博士; 电话: 0731-8887625; E-mail: xyguo@csu.edu.cn

劳尔法制备出锆金属,无法避免氯化过程。XIA 等^[15-16]研究发现,利用氢气辅助镁还原TiO₂可以制备出氧含量极低的钛粉,氢气辅助还原高钛渣可以得到氧含量较低的钛合金粉末^[17]。基于此,本文直接以金属氧化物ZrO₂和Nb₂O₅为原料,利用镁粉做还原剂,在氢气氛围下还原制备Zr-2.5Nb合金粉末,再对合金粉末进行烧结,制备出Zr-2.5Nb合金,对Zr-2.5Nb粉末的制备工艺进行探究,对烧结粉末的元素含量、形貌、元素分布规律及粒度等进行了表征;探究了烧结温度对合金物相,合金元素分布及力学性能的影响。

1 实验

以购买自阿拉丁试剂网的 ZrO_2 和 Nb_2O_5 粉末为原料,镁粉为还原剂, $MgCl_2$ 为添加剂,工艺流程如图1所示。

以 Zr-2.5Nb 为目标合金,按照合金中锆铌元素的质量比 97.5:2.5 计算出所需的 ZrO₂与 Nb₂O₅的质量比为131.9:3.57,按照该比例称取一定量的氧化锆和氧化铌粉末,并用镁粉作为还原剂,镁粉的质量为称量好的氧化物的理论还原质量的 120%,加入氧化物质量的 20%的氯化镁作为添加剂以增加离子传导速率,强化反应。将称量好的氧化物、镁粉和氯化镁在滚筒混料机中以 60 r/min 中的转动速率混合 6 h。再将混好的粉末装入钼坩埚后放入管式炉中,在氢气气氛下升高至 750 ℃保温 4 h 后自然冷却至室温,取出实验样品放入醋酸溶液中除去过量的镁粉和反应生成的氧化镁。浸出后的粉末干燥后放入刚玉方舟后再置于管式炉中,在氢气气氛

下,加热至1300 ℃保温2h进行热处理,以减小粉 末孔隙率对粉末氧含量的影响。待热处理结束后, 将合金粉末研磨至45 µm 以下。最后将热处理好的 粉末加入合金粉末质量的20%的氯化镁及10%的 氯化镁混合均匀后在管式炉氢气气氛下进行脱氧。 脱氧温度为750℃,时间为4h。脱氧结束后重复 上述浸出步骤, 干燥后得到脱氧后的低氧粉末产 品。合金粉末装入d10 mm×15 mm的聚氨酯模具 中,将模具放入在冷等静压机(型号: 金开源U100) 中,设置压力为350 MPa压力下压制成柱状,随后 在管式炉中氩气气氛下加热至指定温度并保温固定 时间进行烧结制备出锆铌合金产品。利用电感耦合 等离子体发射光谱仪(ICP-OES)、粒度分析仪 (MASTERSIZER 2000)、 扫 描 电 镜 (MIRA3-TESAN)、固体密度仪(DH-600X)、万能力学试验 机(SHK-A101)、维氏硬度计(7MHVS-50A)等对粉 末中杂质元素、合金的密度、微观组织、粉末密 度、材料的力学性能进行测试。

2 结果与讨论

2.1 合金粉末元素含量分析

氧化物经过还原、热处理及脱氧三个步骤后粉末产品中的金属Zr含量较高,为了准确表征元素含量,利用ICP-MS对含量较低的其他元素进行表征,结果如表1所示。

由表1可知, 锆铌合金还原粉末中的主要杂质为镁元素, 这主要是因为洗涤过程中镁未被彻底清洗导致的。 热处理粉末中镁质量分数降低至0.002%, 这是因为热处理温度较高, 使粉末中极少

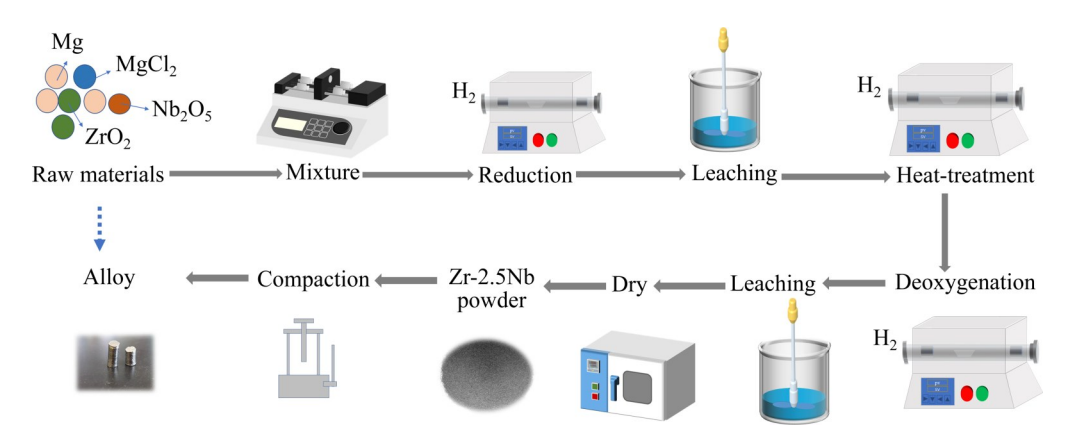


图1 Zr-2.5Nb 合金制备工艺流程图

Fig. 1 Flow chart of preparing Zr-2.5Nb alloy

量的 Mg 随着温度的升高而挥发,此外因为原料的原因,粉末中含有少量的杂质元素 B、Sn、Co、Ti等。原料混合氧化物中的氧含量通过 ZrO_2 与 Nb_2O_5 的质量比 131.9:3.57 及各自中氧元素的质量分数 26.01%和30.07%来计算,计算方法为 $(m_1w_1+m_2w_2)/(m_1+m_2)$,式中: m_1 和 m_2 分别取氧化物质量比中的 131.9和3.57; w_1 和 w_2 分别指 ZrO_2 与 Nb_2O_3 中氧元素的质量分数。通过计算可知原料中氧元素的质量分数为26.1%。还原后产品粉末的氧质量分数成功降低至约 0.685%,氧元素的去除率超过 97%。随后将第一步还原的粉末在氢气气氛中在 1300 °C下

热处理2h,热处理粉末的氧质量分数仍有小幅下降至0.51%。这可能是因为锆铌金属发生合金化,使得氢气将一部分氧元素脱除。最后,在氢气气氛下以镁为还原剂,在750℃的温度下保温6h进行第二步还原脱氧。最终的锆铌金属粉末的氧质量分数成功降低到0.038%,远低于美国核级海绵锆标准(ASTM B349/B349M-16)的要求,ASTM B349/B349M-16标准海绵锆含氧量最高为0.14%。

2.2 粉末产品粒度及形貌分析

图 2 所示为原料、还原粉末及脱氧粉末的

表1 各步骤粉末元素质量分数

 Table 1
 Elements mass fraction of powder at each step

Element	Mass fraction/%								
	Nb	Mg	Al	As	В	Sn	Со	Ti	О
Reduced	2.290	0.810	0.026	0.2233	0.0097	0.060	0.011	0.019	0.685
Heat-treated	2.271	0.002	0.023	0.001	0.005	0.004	0.001	0.005	0.510
Deoxygenation	2.279	0.002	0.0191	0.001	0.005	0.004	0.001	0.005	0.038

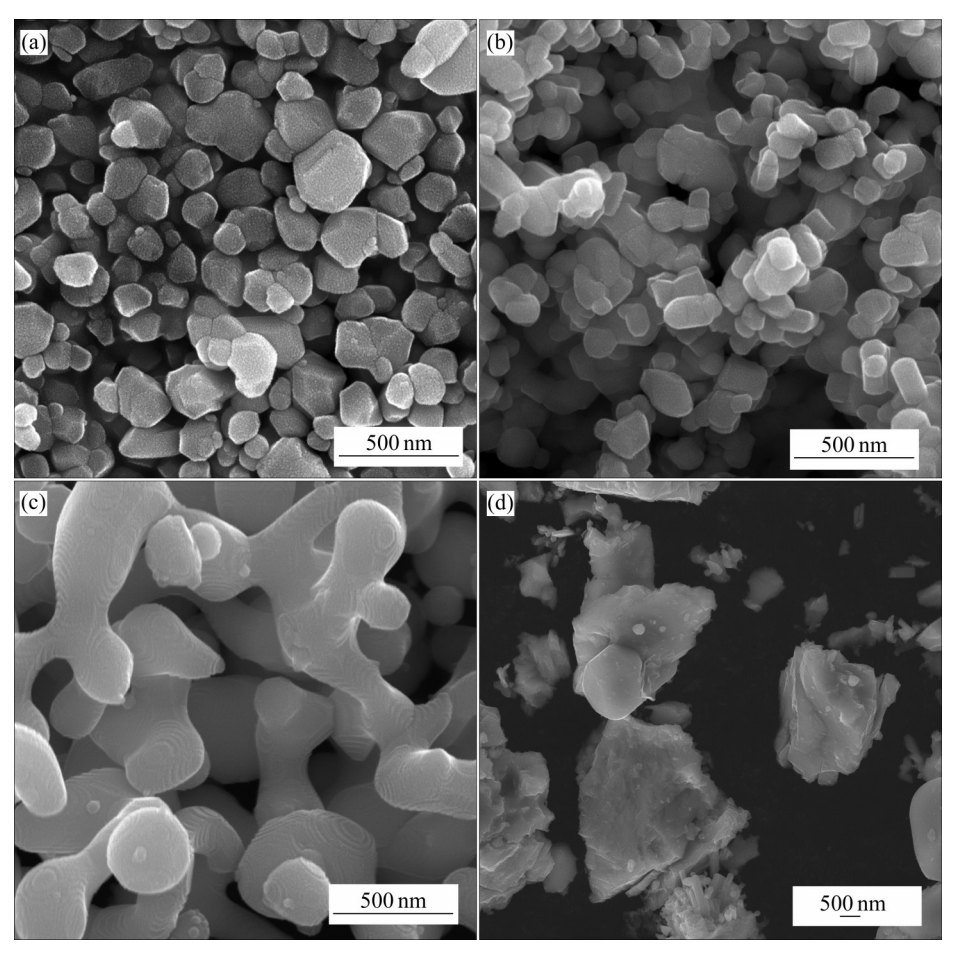


图2 原料、还原粉末及脱氧粉末的SEM像

Fig. 2 SEM images of ZrO₂ powder(a), Nb₂O₅ powder(b), reduced powder(c) and deoxidized powder(d)

SEM像。

由图 2(a)和 2(b)可知,原料中颗粒尺寸较小, 呈相互独立不规则的椭球状,图 2(c)所示为氢气气 氛下还原后的合金粉末,由于镁还原氧化物过程为 自蔓延过程,导致系统温度较高,还原后的合金粉 末颗粒有所黏接,颗粒尺寸相对于原料尺寸增长变 大。将热处理后的合金粉末研磨破碎后通过 350 目 筛子再与镁粉混合脱氧,得到脱氧合金粉末如图 2 (d)所示,可以看出由于热处理高温下颗粒发生烧 结,颗粒之间间距变小,尺寸进一步增大,导致脱 氧后的金属粉末产品表面为无孔洞的致密块状。合 金粉末经过磨抛处理后的背散射电子显微图像及元 素分布如图 3 所示。

图3的结果表明,脱氧后的粉末中Zr和Nb的分布相对比较均匀,经过高温热处理后的合金粉末中的Nb元素已经固溶进入含量较多的Zr基体中,经过脱氧阶段的长时间保温,可能会有部分含Nb元素的晶粒聚集导致部分区域Nb元素略高。

图4所示为最终产品的粒度分布结果,由图4可知,产品锆铌金属粉末的平均粒度为 $61.88 \mu m$, $D_{10}=5.897 \mu m$, $D_{50}=42.36 \mu m$, $D_{00}=147.49 \mu m$ 。

D₁₀, D₅₀和 D₉₀分别为样品的累积粒度分布数达 10%, 50%和 90%时对应的粒径。最终产品的粒度 主要取决于热处理破碎后的粉末粒度,既不能破碎 太细导致粉末的颗粒尺寸太小而引起比表面积增 大, 可能会使粉末表面更易氧化, 粉末氧含量增 加。也不能太粗而不利于烧结。

2.3 烧结产品物相及形貌表征

图 5 所示为 1200 °C, 1300 °C 及 1400 °C 下烧结产品的产品物相结果。

由图5可知,当烧结温度为1200℃时,合金产品中的主要物相为Zr物相,由于Zr和Nb不均匀固溶,物相中有少量的Zr-Nb化合物相出现,随着温度的升高,Nb在锆基体中的固溶度增加,当温度为1400℃时,仅可以检测出β-Zr相。合金横截面形貌如图6所示。

由图6可以看出,烧结温度为1200 ℃时,合金 断面存在较为明显的孔隙,合金中有明显的两相组 成,灰色区域的金属Nb含量高于深色区域,Nb固 溶于 α -Zr中形成 β 相,随着温度的升高,合金的致 密度增加,孔隙明显降低,当温度为升高至

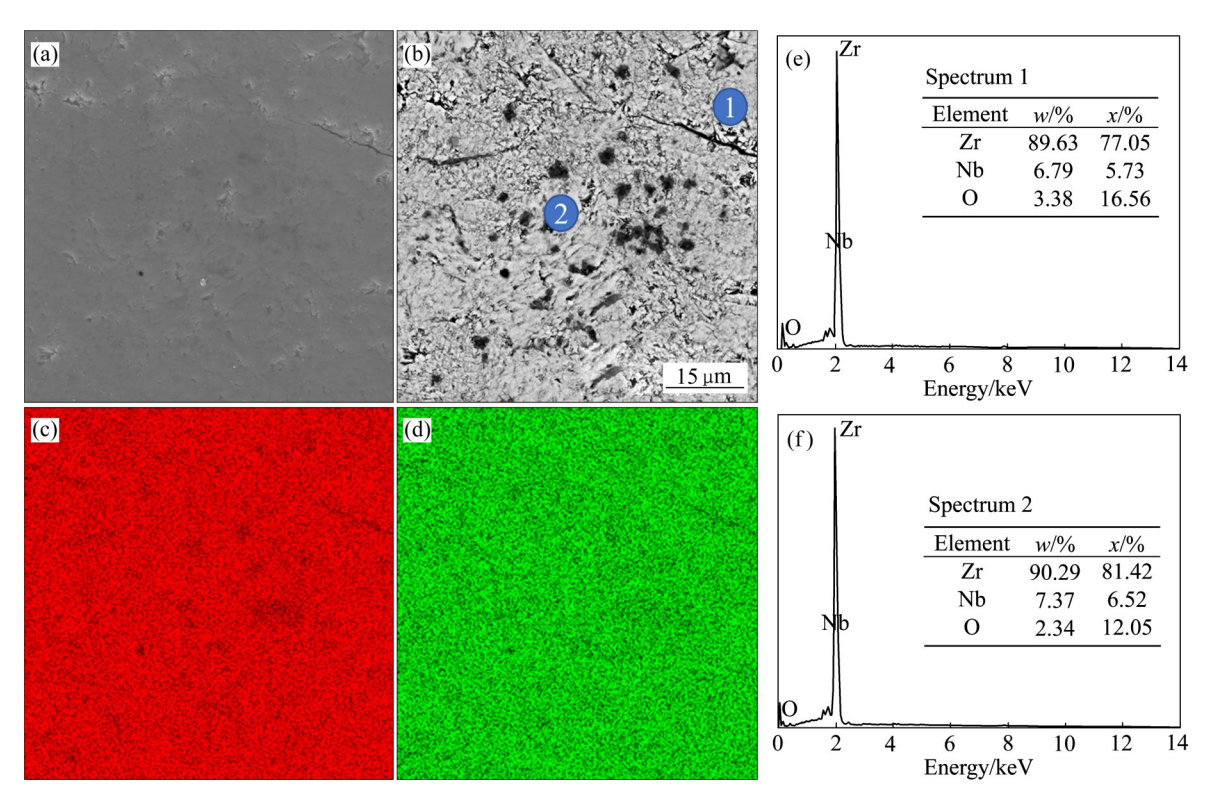


图3 脱氧粉末元素分布结果

Fig. 3 SEM-mapping of deoxidized powder: (a) SEM image; (b) BSE image; (c) EDS elemental mapping of Zr; (d) EDS elemental mapping of Nb; (e) Element content of point 1; (f) Element content of point 2

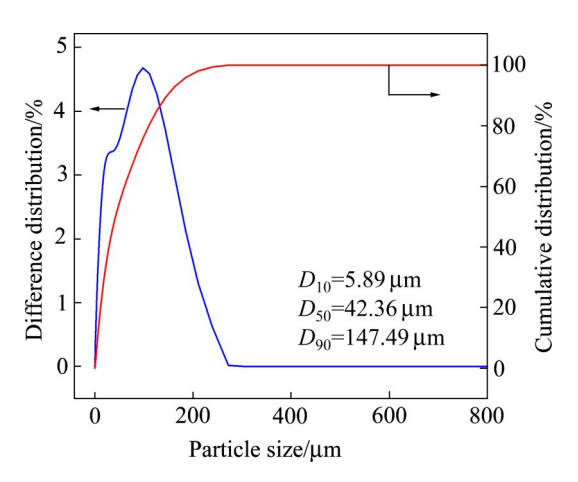


图4 脱氧粉末粒径分布

Fig. 4 Particle size distribution of deoxidized powder

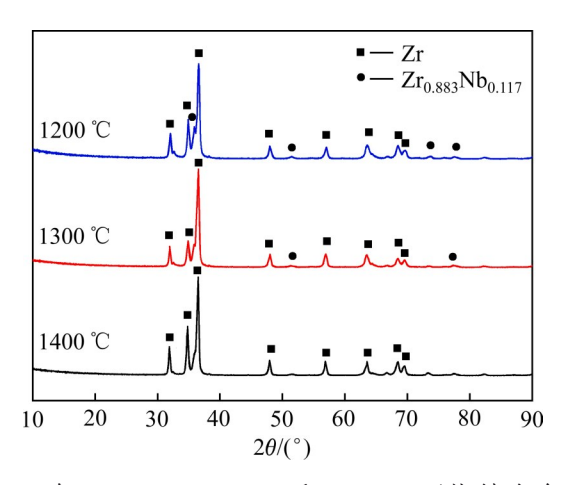


图 5 在 1200 ℃、1300 ℃和 1400 ℃下烧结合金的 XRD谱

Fig. 5 $\,$ XRD patterns of sintering alloy at 1200 $^{\circ}\mathrm{C}$, 1300 $^{\circ}\mathrm{C}$ and 1400 $^{\circ}\mathrm{C}$

1300 ℃和1400 ℃时,铌在锆基体中的固溶度加强,两相差异变小,从 SEM 合金断面放大图中可以观察到 Nb 含量分布的变化规律,随着温度逐渐升高,明显观察到含 Nb 的 β 相晶粒长大,这对力学性能可能会有影响。对合金进行维氏硬度测试,结果如图 7(a)所示,Average 对应的数值指五个点的平均硬度。由图 7(a)可以看出,随着温度的升高,合金的致密度增加,从而合金的硬度逐渐升高。图 7(b)所示为合金的压缩强度变化,合金的压缩强度大增加后减小,1300 ℃时合金的压缩强度最高为1059 MPa,1400 ℃强度降低是因为温度的升高引起晶粒的粗大导致的。硬度和强度的变化不一致,这可能是因为硬度主要和合金的致密度相关,致密度越高,合金的硬度越高,而影响强度的

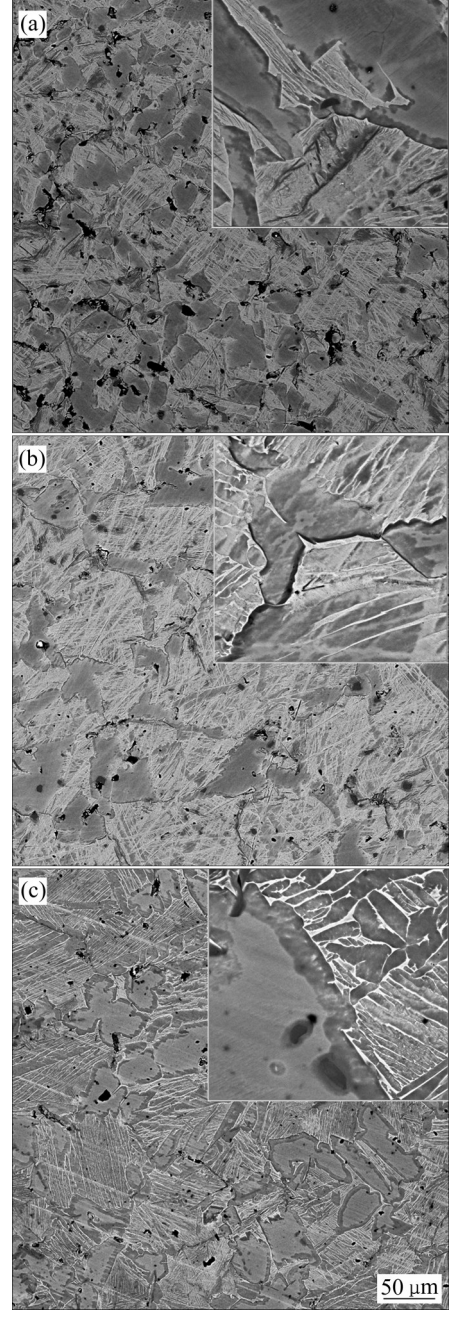


图 6 在 1200 ℃、1300 ℃和 1400 ℃下烧结合金的横截面 SEM 像

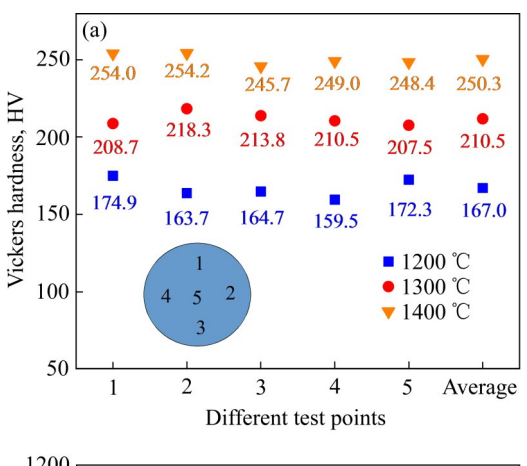
Fig. 6 SEM image of cross section of sintering alloy at different temperatures: (a) $1200 \, ^{\circ}\text{C}$; (b) $1300 \, ^{\circ}\text{C}$; (c) $1400 \, ^{\circ}\text{C}$

因素不仅和致密度相关,还与合金中晶粒的均匀 化、粗细及分布等相关。

2.4 合金的密度

合金的理论密度^[18]计算公式如下: ρ_{th} =100/ $(\frac{w_{\text{Zr}}}{\rho_{\text{Zr}}} + \frac{w_{\text{Nb}}}{\rho_{\text{Nb}}})$,式中,式中 w_i 和 ρ_i (i=Zr,Nb)分别为

金属组分i的质量分数和相应金属的密度。计算得到本研究中Zr-2.5Nb合金的理论密度为6.529g/cm³。利用密度仪测量了烧结合金的密度,结果如图8所示。



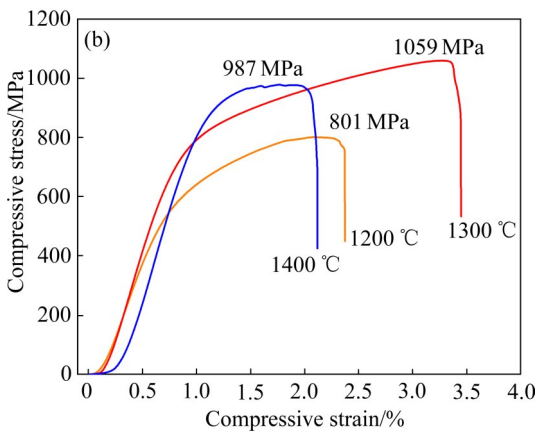


图7 在1200 ℃、1300 ℃和1400 ℃下烧结合金的维氏 硬度和压缩强度

Fig. 7 Vickers hardness(a) and compressive strength(b) of sintering alloy at 1200 $^{\circ}$ C, 1300 $^{\circ}$ C and 1400 $^{\circ}$ C

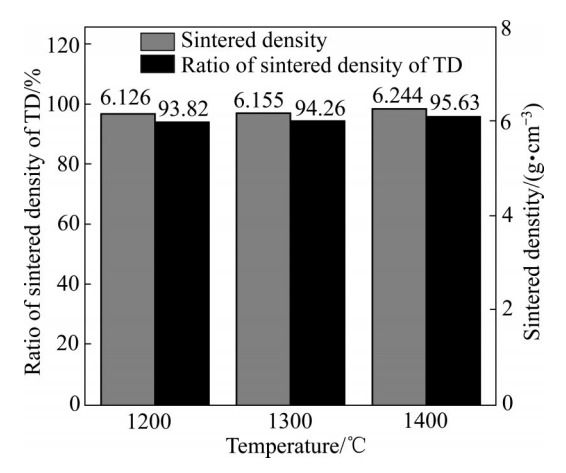


图8 在1200 ℃、1300 ℃和1400 ℃下烧结合金致密度 及密度与温度的关系

Fig. 8 Relationship of densification and density of sintered alloy at 1200 $^{\circ}$ C, 1300 $^{\circ}$ C and 1400 $^{\circ}$ C

如图 8 所示,实际密度均达到理论密度的 93% 以上。烧结合金的密度在 $1200\sim1400$ \mathbb{C} 温度范围内,随温度升高而增加。在 1400 \mathbb{C} 时,锆铌合金的密度最高为 6.244 g/cm³,达到理论密度的 95.63%。

3 理论分析

实验所用Nb₂O₅质量较少,氧化铌被还原成Nb 后不会和氧元素形成固溶体,该研究只探究氢气下 镁粉还原 ZrO,的可行性及氢气的辅助还原机理。 利用 HSC Chemistry 商业软件模拟了氩气与氢气气 氛下镁还原氧化锆的还原反应过程。图9(a)中为氩 气气氛下镁还原氧化锆反应平衡成分图, 该反应过 程以氧化锆与镁金属为原料, 所需镁金属的质量为 镁还原氧化锆化学反应理论质量的1.2倍,结果表 明在低于800℃时生成了氧化镁与锆金属单质,图 9(b)所示为氢气气氛下镁还原氧化锆的反应平衡成 分图,同样的该反应过程以氧化锆与镁金属为原 料,所需镁金属的质量同样为理论值的1.2倍。模 拟结果显示还原反应在低于650℃时生成了氢化锆 (ZrH₂)及氧化镁。当温度高于800 ℃时,氢化锆发 生脱氢反应生成锆金属单质。氢气的引入使得镁金 属热还原反应在更低的温度达到平衡,并且由于氢 气的脱氢反应在700 ℃以上进行, 所以在氢气气氛 下中选择反应温度应≤750 ℃。利用 Pandat 的 PanPhaseDiagram 模块计算 Zr-H 二元系统的相平衡 和 Zr-H,-O, 固溶体热力学性质。图 9(c)为 Zr-H 二元 系统相平衡图,在750℃时随着氢含量的增加,氢 元素的固溶度约为0.1%时, Zr-H固溶体从α相转 变为 $\alpha+\beta$ 相。氢元素的固溶度为2%以上时,稳定 相为 δ 相的 ZrH_2 。同时,利用Pandat的焓的数据库 对Zr-H_x-O₀₀₁固溶体的吉布斯自由能进行了计算, 其中x为氢元素的固溶度。结果如图9(d)所示,在 750 ℃下, 当氢元素固溶度为0.1%时, Zr-H_{0.1}-O_{0.01} 固溶体的吉布斯自由能,相比Zr-O_{0.01}固溶体的值 升高了10倍以上,并且随着氢元素固溶度的升高, Zr-H_x-O₀₀₁ 固溶体的吉布斯自由能不断升高,说明 了氢元素的引入使Zr-O固溶体失稳,增强了镁粉 的脱氧能力,可以获得氧含量更低的粉末。

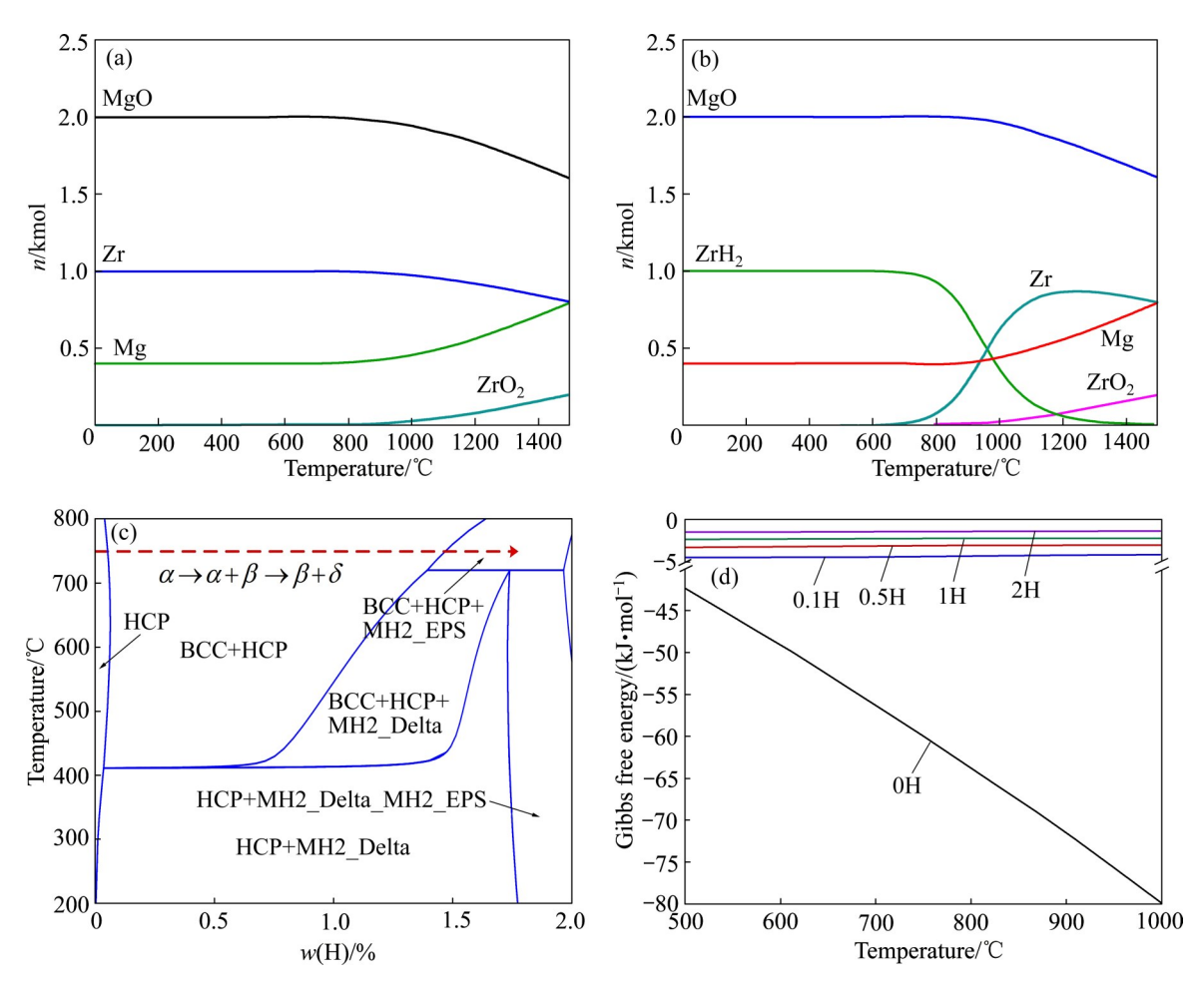


图9 对 Ar 和 H_2 中氧化锆与镁反应的热力学建模结果及 Zr-H 相图分析和氢元素对 Zr- H_x - $O_{0.01}$ 固溶体吉布斯能的影响 **Fig. 9** Thermodynamic simulation of ZrO_2 reduced by Mg in argon(a) and in hydrogen(b), Zr-H phase diagram(c), and Gibbs free energy(d) of Zr-Hx- $O_{0.01}$

4 结论

- 1) 氢气气氛下,以镁粉作为还原剂,可以制备得到氧含量低至0.038%的锆铌合金粉末,合金粉末中的铌含量为2.279%,平均粒度为61.88 μm。
- 2) 通过烧结合金粉末制备得到了锆铌合金,随着烧结温度从1200 ℃升高至1400 ℃,合金的致密度增加,硬度增加,提高烧结温度既可以增加致密度,促进合金化,又可以使晶粒粗化,但温度过高,晶粒粗化不利于合金的强度。因此当温度为1300 ℃和1400 ℃时合金硬度和强度分别达到最大。该方法制备得到的合金满足ASTM核级标准锆合金要求,即压缩强度最小为345 MPa(R60706)或380 MPa(R60705)和ASTM核级锆合金标准(R60901,

R60902)的维氏硬度范围(150~500 HV)。

3) 通过理论计算表明了氢气的存在削弱了 Zr-O 固溶体的结合力,使 Zr-O 固溶体的吉布斯自由能扩大,增强了镁粉的还原脱氧极限,有利于获得氧含量更低的合金粉末。

REFERENCES

- [1] 张夫恩, 栾佰峰, 王 轩, 等. Zr 合金设计方法的研究现状及发展趋势[J]. 稀有金属材料与工程, 2020, 49(5): 1819-1824.
 - ZHANG Fu-en, LUAN Bai-feng, WANG Xu-an, et al. Research status and prospect of Zr alloys design methods[J]. Rare Metal Materials and Engineering, 2020, 49(5): 1819–1824.
- [2] 柴林江, 栾佰峰, 周 宇, 等. 锆合金第二相研究述评(I): Zircaloys 合金[J]. 中国有色金属学报, 2012, 22(6):

1594-1604.

- CHAI Lin-jiang, LUAN Bai-feng, ZHOU Yu, et al. Review of second phase particles on zirconium alloys(I): zircaloys [J]. The Chinese Journal of Nonferrous Metals, 2012, 22 (6): 1594–1604.
- [3] 张福全, 黄阳正, 周惦武, 等. 退火对新型锆合金组织与性能的影响[J]. 中国有色金属学报, 2020, 30(1): 140-149. ZHANG Fu-quan, HUANG Yang-zheng, ZHOU Dian-wu, et al. Influence of annealing on microstructure and properties of a novel zirconium alloy[J]. The Chinese Journal of Nonferrous Metals, 2020, 30(1): 140-149.
- [4] DONG Q S, QIN H, YAO Z W, et al. Irradiation damage and hardening in pure Zr and Zr-Nb alloys at 573 K from self-ion irradiation[J]. Materials & Design, 2019, 161: 147–159.
- [5] GUGULOTH K, MITRA R, CHOWDHURY S G, et al. Mechanism of creep deformation with evolution of microstructure and texture of Zr-2.5Nb alloy[J]. Materials Science and Engineering A, 2018, 721: 286-302.
- [6] KROLL W J, SCHLECHTEN A W, YERKESL A. Ductile zirconium from zircon sand[J]. Transactions of the Electrochemical Society, 1946, 89(1): 263–276.
- [7] 张 楷, 徐 亮. 锆冶金技术的研究进展[J]. 稀有金属与硬质合金, 2020, 48(6): 30-37, 55.

 ZHANG kai, XU Liang. Research progress in zirconium metallurgical technology[J]. Rare Metals and Cemented Carbides, 2020, 48(6): 30-37, 55.
- [8] 谢珊珊, 李 慧, 张士宪, 等. 金属锆的制备工艺[J]. 热加工工艺, 2017, 46(4): 27-29.

 XIE Shan-shan, LI Hui, ZHANG Shi-xian, et al. Preparation process of metal zirconium[J]. Hot Working Technology, 2017, 46(4): 27-29.
- [9] 郭春芳, 董云会. 金属锆制备方法的研究进展[J]. 稀有金属与硬质合金, 2008, 36(2): 63-67.

 GUO Chun-fang, DONG Yun-hui. Development of zirconium metal preparation method[J]. Rare Metals and Cemented Carbides, 2008, 36(2): 63-67.
- [10] 黄景存, 刘 海, 马朝辉, 等. 铝热法直接还原氧化锆制备金属锆的研究[J]. 稀有金属, 2021, 45(9): 1103-1110.

 HUANG Jing-cun, LIU Hai, MA Zhao-hui, et al.

- Perpetration of Zr from $\rm ZrO_2$ by aluminothermic reduction[J]. Chinese Journal of Rare Metals, 2021, 45(9): 1103-1110.
- [11] 郭春芳, 董云会, 于先进, 等. 直接电脱氧法制备金属锆[J]. 中国有色金属学报, 2007, 17(6): 1019-1023.

 GUO Chun-fang, DONG Yun-hui, YU Xian-jin, et al. Preparation of zirconium by direct electrode oxidation[J]. The Chinese Journal of Nonferrous Metals, 2007, 17(6): 1019-1023.
- [12] GUO X Y, DONG W D, XIA Y, et al. Preparation of low-oxygen-containing Ti-48Al-2Cr-2Nb alloy powder by direct reduction of oxides[J]. Transactions of Nonferrous Metals Society of China, 2022, 32(4): 1351-1361.
- [13] 许 德, 高华兵, 董 涛, 等. 增材制造用金属粉末研究进展[J]. 中国有色金属学报, 2021, 31(2): 245-257.

 XU De, GAO Hua-bing, DONG Tao, et al. Research progress of metal powder for additive manufacturing[J]. The Chinese Journal of Nonferrous Metals, 2021, 31(2): 245-257.
- [14] LI H Z, CHE Y X, LIANG X P, et al. Microstructure and high-temperature mechanical properties of near net shaped Ti-45Al-7Nb-0.3W alloy by hot isostatic pressing process[J]. Transactions of Nonferrous Metals Society of China, 2020, 30(11): 3006–3015.
- [15] XIA Y, FANG Z Z, ZHANG Y, et al. Hydrogen assisted magnesiothermic reduction (HAMR) of commercial TiO₂ to produce titanium powder with controlled morphology and particle size[J]. Materials Transactions, 2017, 58(3): 355-360.
- [16] FANG Z Z, SUN P. Pathways to optimize performance/cost ratio of powder metallurgy titanium: a perspective[J]. Key Engineering Materials, 2012, 520: 15-23.
- [17] DONG Z W, XIA Y, GUO X Y, et al. Direct reduction of upgraded titania slag by magnesium for making low-oxygen containing titanium alloy hydride powder[J]. Powder Technology, 2020, 368: 160–169.
- [18] XIA Y, LUO S D, WU X, et al. The sintering densification, microstructure and mechanical properties of gamma Ti-48Al-2Cr-2Nb alloy with a small addition of copper[J]. Materials Science and Engineering A, 2013, 559: 293–300.

Preparing Zr-2.5Nb alloy by hydrogen assisted magnesium reduction and sintering

DONG Zhao-wang^{1, 2}, ZHAO Jin-long^{1, 2}, XIA Yang¹, GUO Xue-yi^{1, 2}, LIU Han-ning^{1, 2}

- (1. School of Metallurgy and Environment, Central South University, Changsha 410083, China;
- 2. Research Institute of Resource Recycling, Central South University, Changsha 410083, China)

Abstract: The traditional Kroll method for preparing zirconium alloy has a long process and is easy to be polluted by impurity elements. In this paper, a new method for directly preparing alloy by sintering Zr-Nb alloy powder via hydrogen assisted magnesium thermal reduction of metal oxide was proposed. Taking Zr-2.5Nb as the target alloy, Zr-2.5Nb hydrogenated alloy powder with 0.038% oxygen content was successfully prepared by reducing the mixture of ZrO₂ and Nb₂O₅ with magnesium powder in hydrogen atmosphere first. After that, Zr-2.5Nb alloy was prepared by cold isostatic and sintering. The results show that the oxygen content in the alloy powder is only 0.038% and the Nb content is 2.29%. At a sintering temperature of 1400 °C, the maximum densification degree of alloy products is 95.36% and the maximum hardness is 250.3 HV. However, the compressive strength of the alloy decreased from 1059 MPa sintered at 1300 °C to 978 MPa sintered at 1400 °C. The hardness and compressibility of the prepared alloy meet the American Standard of nuclear grade industrial zirconium alloy.

Key words: reduction; Zr-Nb alloy; powder; sintering

Foundation item: Project(52004342) supported by the National Natural Science Foundation of China; Project (2021JJ20065)supported by the Outstanding Youth Fund of Hunan Natural Science Foundation, China

Received date: 2021-12-22; **Accepted date:** 2022-02-28

Corresponding author: XIA Yang; Tel: +86-731-88877863; E-mail: yang.xia@csu.edu.cn GUO Xue-yi; Tel: +86-731-8887625; E-mail: xyguo@csu.edu.cn

(编辑 刘锦伟)